

УДК 547.455.623'233.1

СИНТЕЗ АРИЛ- O - β -D-ГЛЮКОЗАМИНИДОВ И ОЦЕНКА ИХ БИОЛОГИЧЕСКОЙ АКТИВНОСТИ В ТЕСТЕ ИНГИБИРОВАНИЯ БИОЛЮМИНЕСЦЕНЦИИ МОРСКИХ СВЕТЯЩИХСЯ БАКТЕРИЙ

В.О.Курьянов, А.М.Кацев*, Т.А.Чупахина, В.Я.Чирва

Таврический национальный университет им. В.И.Вернадского,
г. Симферополь, просп. Вернадского, 4. E-mail: vladimir@tnu.crimea.ua

** Крымский государственный медицинский университет им. С.И.Георгиевского

Ключевые слова: арилглюкозаминиды; межфазный катализ; 15-краун-5; биолюминесценция;
светящиеся бактерии

В межфазной системе “твердое тело – органический растворитель” в присутствии катализитических количеств 15-краун-5 реакцией перацетата α -D-глюкозаминилхлорида с различными фенолами и нафтолями синтезированы арил- O - β -D-глюкозаминиды. Биологическая активность их дезацетилированных форм оценена в teste ингибирования биолюминесценции морских светящихся бактерий.

SYNTHESIS OF THE ARYL O- β -D-GLUCOSAMINIDES AND ESTIMATION OF THEIR BIOLOGICAL ACTIVITY IN THE INHIBITION TEST OF BIOLUMINESCENCE OF MARINE LUMINESCENT BACTERIA

V.O.Kuryanov, A.M.Katsev, T.A.Chupakhina, V.Ya.Chirva

Aryl O- β -D-glucosaminides have been synthesized by the peracetate reaction of α -D-glucosaminyl chloride with various phenols and naphtoles in the “solid – organic solvent” interphase system in the presence of catalytic amount of 15-crown-5. The biological activity of their deacetylated forms has been estimated in the inhibition test of bioluminescence of marine luminescent bacteria.

СИНТЕЗ АРИЛ- O - β -D-ГЛЮКОЗАМИНІДІВ I ОЦІНКА ЇХ БІОЛОГІЧНОЇ АКТИВНОСТІ В ТЕСТІ ІНГІБУВАННЯ БІОЛЮМІНЕСЦЕНЦІЇ МОРСЬКИХ БАКТЕРІЙ, ЯКІ СВІТЯТЬСЯ

В.О.Кур'янов, О.М.Кацев, Т.О.Чупахіна, В.Я.Чирва

У міжфазній системі “твердє тіло – органічний розчинник” у присутності каталітичної кількості 15-краун-5 реакцією перацетату α -D-глюкозамінілхлориду з різноманітними фенолами та нафтолями синтезовані арил- O - β -D-глюкозамініди. Біологічна активність їх дезацетильованих форм оцінена в тесті інгібування біолюмінесценції морських люмінісентних бактерій.

В синтетической химии углеводов известно немало примеров получения арилгликозидов с привлечением большого числа гликозил-доноров и гликозил-акцепторов [1-8]. Среди применявшихся способов синтеза важное место занимают методики межфазного катализа в системе “жидкость – жидкость” [1, 9-13] и “твердое тело – органический растворитель” [14-17].

Разработанный нами способ катализируемого краун-эфирами (КЭ) межфазного гликозилирования в системе “твердый карбонат калия – органический растворитель” позволяет в мягких условиях и с хорошими выходами получать глюкозаминиды реакцией 2-ацетамидо-3,4,6-три- O -ацетил-2-дезокси- α -D-глюкозаминилхлорида 1 с различными ароматическими гидроксилсодержащими соединениями [18-28].

Отметим, что ароматические гликозиды исследовались как потенциальные противовоспалитель-

ные [29], антивирусные средства [30-35], антидепрессанты [36], субстраты различных ферментов [37] и применялись в качестве стартовых соединений в синтезе гликозидов N-ацетилмурамоил-L-аланил-D-изоглутамина [38]. Однако информации о систематическом изучении биологической активности синтетических ароматических гликозидов нами в литературе не обнаружено.

Современные методы анализа, используемые для фармацевтического скрининга химических соединений, отличаются высокой чувствительностью, производительностью и низкой стоимостью. Этим критериям отвечает и метод биотестирования с помощью светящихся бактерий, использующийся во многих странах для экспресс-анализа токсичности водных сред и различных химических соединений [39, 40], выявления остаточных концентраций антибиотиков в живых организмах [41, 42], исследования фармакодинамики антибиотиков [43].

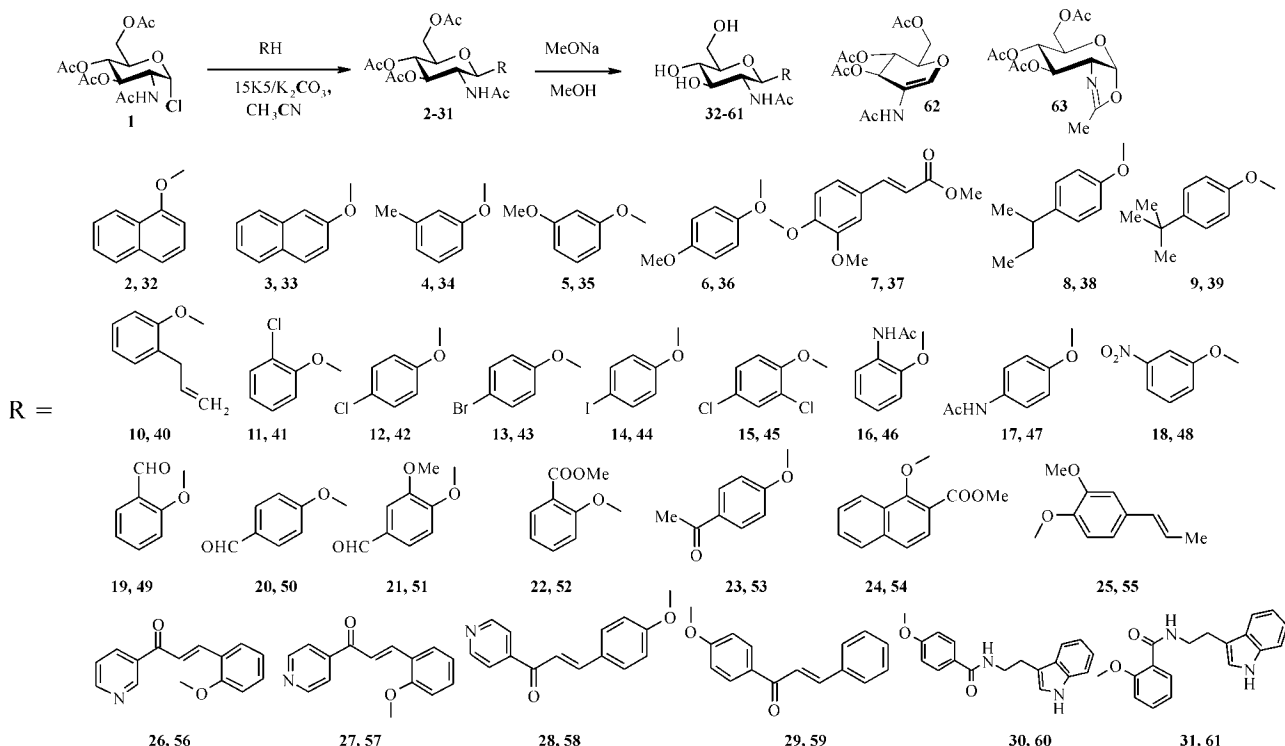


Рис. 1. Структура перацетилизованих производних 2, 4, 5, 7-11, 13-18, 25-29, триолов 32-61, 1,2-гликозеена 62 і оксазолина 63.

Поскольку светящиеся бактерии излучают видимый свет в результате общего метаболизма клетки, вещества с различным механизмом биологического действия по-разному влияют на биолюминесценцию [44-46]. Изучая зависимость уровня свечения бактерий от концентрации вещества или времени, судят об общей токсичности (экотоксичности) объекта и его биодоступности [47, 48]. Биолюминесцентный метод может быть использован для скрининга других видов биологической активности, например, бактерицидного действия [45, 48]. В настоящей работе нами впервые осуществлен скрининг биологической активности синтетических глюкозаминидов с помощью биотестирования светящимися бактериями.

Синтез соединений 3, 6, 12, 19-24 и 30, 31 описан нами ранее [19, 28]. Гликозиды 2, 4, 5, 7-11, 13-18, 25-29 получали согласно [19] в безводном ацетонитриле, используя эквимольные соотношения гликозил-донора 1, фенольных соединений, безводного K_2CO_3 и 20% (мольн.) 15K5 (рис. 1). Выходы и физико-химические константы глюкозаминидов 2, 4, 5, 7-11, 13-18, 25-29 приведены в табл. 1.

Обнаружено, что состав побочных продуктов, идентифицированных в реакциях α -хлорида 1 с фенолами и нафтолами, в целом определялся электронной природой заместителей в ароматических ядрах. Наличие электронодонорных групп способствовало протеканию конкурентного замещению процесса β -элиминирования с образованием 1,2-гликозеена 62, а электронакцепторных — процессу внутримолекулярного замещения с образова-

нием традиционного для межфазных процессов [12, 13, 18, 49] оксазолина 63 (TCX, сравнение с заведомыми образцами). Этот же процесс наблюдался и при гликозилировании ряда фенолов, имевших заместитель в *o*-положении ароматического ядра.

Отметим, что выводы относительно закономерностей влияния природы заместителя в ароматическом ядре на время реакции гликозилирования замещенных фенолов и выходы соответствующих гликозидов 6, 12, 19-24, сделанные нами ранее [18, 19], не нашли полного подтверждения в ходе синтеза арилгликозидов 4, 5, 7-11, 13-18, 25-29 (рис. 1). По-видимому, на характер процесса влияли не только электронные свойства заместителей, но и, возможно, растворимость образующихся фенолятов калия и/или их комплексов с 15K5 в данном объеме растворителя, положение заместителя в ароматическом ядре. Таким образом, окончательный вывод о влиянии строения гликозилируемого ароматического соединения на ход реакции может быть сделан только после проведения дополнительных исследований.

Строение глюкозаминидов 4, 5, 7-11, 13-18, 24-29 доказано 1H ЯМР спектроскопией (табл. 2). Во всех случаях образовывались только *O*- β -гликозиды, о чем свидетельствовало наличие в их 1H ЯМР спектрах дублетов аниомерного протона с ХС 4,88-5,53 м.д. и КССВ 8-9 Гц. Мультиплетность и ХС скелетных протонов и протонов агликонов соответствуют полученным нами ранее и литературным данным [12, 13, 18-20, 22, 24, 26].

Полные ацетаты дезацетилировали по Земпле-ну аналогично методике [13] до триолов 32-61.

Таблиця 1

Выходы и физико-химические константы гликозидов 2, 4, 5, 7-11, 13-18, 25-29

Соединение	Выход, %	$[\alpha]_{546}$	Т.пл., °C	Литературные данные			
				выход, %	$[\alpha]_D$	Т.пл., °C	лит. источник
2	48	-77,198 (с 1,0; хлороформ)	212-213	23	-	210-211	[165]
4	50	-14° (с 1,0; хлороформ)	195-196				
5	51	-19° (с 1,0; хлороформ)	182-184				
7	56	-31° (с 1,0; хлороформ)	207-209				
8	36	-6° (с 1,0; хлороформ)	177-178				
9	45	-10° (с 1,0; хлороформ)	154-156				
10	58	-28° (с 1,0; хлороформ)	193-195				
11	70	-44° (с 1,0; хлороформ)	213-214				
13	51	-13° (с 1,0; хлороформ)	225-227	88	-8,9° (хлороформ)	228,3-228,8	[16]
14	45	-8° (с 1,0; хлороформ)	244-246	83	-4,9° (хлороформ)	252,3-252,9	[16]
15	82	-42° (с 1,0; хлороформ)	211-212				
16	70	-77° (с 1,0; хлороформ)	243-246				
17	44	-6° (с 1,0; хлороформ)	250-251	следы	-	250-251	[166]
18	51	-27° (с 1,0; хлороформ)	224-227				
25	53	-34° (с 1,0; хлороформ)	207-210				
26	60	-98° (с 1,0; хлороформ)	257-259				
27	68	-85т (с 1,0; хлороформ)	246-247				
28	76	-17° (с 1,0; хлороформ)	210-212				
29	71	-19° (с 1,0; хлороформ)	222-224				

Таблиця 2

 ^1H ЯМР спектры арилгликозидов 2, 4, 5, 7-11, 13-18, 25-29

Протоны	ХС (м.д.), мультиплетность и КССВ (J_{HH} , Гц)									
	2	4	5	7	8	9	10	11	13	14
H-1 (J _{1,2})	5,40д (8,1)	5,25д (8,4)	5,24д (8,4)	5,38д (8,0)	5,22д (8,0)	5,24д (8,1)	5,22д (8,4)	5,22д (8,1)	5,26д (8,0)	5,25д (8,0)
H-2 (J _{2,3})	4,16ддд (9,9)	4,12ддд (10,5)	4,15ддд (10,5)	3,97ддд (10,6)	4,11ддд (10,0)	4,12ддд (10,5)	4,12м	4,14ддд (10,5)	4,08дд (10,4)	3,87ддд (10,6)
H-3 (J _{3,4})	5,44дд (9,6)	5,41дд (9,0)	5,39дд (9,9)	5,23дд (10,0)	5,39дд (10,0)	5,41дд (9,0)	5,21дд (9,2)	5,46дд (9,0)	5,41дд (9,2)	5,19дд (10,0)
H-4 (J _{4,5})	5,16дд (9,6)	5,13дд (9,0)	5,13дд (9,9)	4,92дд (10,0)	5,14дд (10,0)	5,14дд (9,0)	4,95дд (8,8)	5,15дд (9,0)	5,13дд (9,2)	4,90дд (10,0)
H-5 (J _{5,6a} ; J _{5,6b})	3,94ддд (2,4; 5,4)	3,85ддд (2,4; 5,4)	3,88ддд (2,4; 5,4)	4,09ддд (2,4; 5,6)	3,68ддд (2,0; 5,2)	3,87ддд (2,4; 5,4)	4,12м	3,85ддд (2,1; 5,1)	3,85ддд (2,4; 5,6)	4,02ддд (2,0; 5,6)
H-6a,b (J _{6a,6b})	4,18дд, 4,29дд (12)	4,17дд, 4,28дд (12)	4,18дд, 4,27дд (12)	4,10дд, 4,20дд (12)	4,16дд, 4,29дд (12)	4,16дд, 4,29дд (12)	4,12м, 4,25дд (12,4)	4,19дд, 4,30дд (12)	4,15дд, 4,28дд (12,0)	4,01дд, 4,19дд (12,0)
NAc, OAc	1,95с, 2,06с, 2,07с (6Н)	1,95с, 2,04с, 2,06с, 2,07с	1,95с, 2,05с, 2,06с, 2,08с	1,77с, 1,95с, 1,99с, 2,00с	1,95с, 2,04с, 2,06с, 2,07с	1,94с, 2,04с, 2,06с, 2,07с	1,80с, 1,97с, 2,02с, 2,07с	1,97с, 2,05с, 2,07с, 2,09с	1,96с, 2,05с, 2,06с, 2,08с	1,77с, 1,96с, 2,00с, 2,01с
NH (J _{2,NH})	5,89д (9,0)	5,72д (8,1)	5,73д (9,0)	8,04д (8,8)	5,65д (8,0)	5,74д (9,0)	8,10д (9,2)	5,75д (8,4)	5,69д (8,0)	7,93д (8,0)
CН _{аром.}	7,18д, 7,33д, 7,43м, 7,74м	6,80м, 6,86д, 7,15т	6,59м, 7,17т	7,14д, 7,26дд, 7,40д	6,91д, 7,07д	6,92д, 7,28д	7,01т, 7,14т, 7,21т	7,03м, 7,20м, 7,35д	6,88д, 7,38д	6,84д, 7,56д
R	-	2,27с	3,77с	3,72с, 3,79с, 6,61д, 7,60д	0,80т, 1,19д, 1,55м, 2,54дд	1,29с	3,26д, 5,02дд, 5,89м	-	-	-

Продолжение табл. 2

Протоны	ХС (м.д.), мультиплетность и КССВ ($\delta_{\text{НН}}$, Гц)								
	15	16	17	18	25	26	27	28	29
H-1 ($J_{1,2}$)	5,19д (8,4)	4,88д (8,4)	5,23д (8,4)	5,45д (8,0)	5,26д (8,8)	5,38д (8,8)	5,36д (8,7)	5,41д (8,4)	5,43д (8,4)
H-2 ($J_{2,3}$)	4,11ddd (10,6)	4,48ddd (10,0)	3,96ddd (9,2)	4,13ddd (10,0)	3,97ddd (10,0)	4,21м	4,22ddd (9,6)	4,01ddd (9,6)	4,07ddd (9,6)
H-3 ($J_{3,4}$)	5,45dd (10,0)	5,17м	5,20dd (9,6)	5,48dd (10,0)	5,23dd (9,6)	5,21dd (9,6)	5,20dd (9,9)	5,23dd (9,6)	5,46dd (9,6)
H-4 ($J_{4,5}$)	5,14dd (10,0)	5,17м	4,91dd (9,6)	5,12dd (10,0)	4,92dd (9,2)	4,99dd (9,2)	4,97dd (9,3)	4,94dd (9,2)	5,16dd (9,2)
H-5 ($J_{5,6a}; J_{5,6b}$)	3,83ddd (2,0; 5,6)	3,87ddd (2,4; 5,2)	3,89ddd (2,4; 5,2)	3,99ddd (2,4; 4,8)	4,02ddd (2,4; 5,2)	4,21м	4,15м	4,07ddd (2,0; 5,2)	3,93ddd (2,0; 5,2)
H-6ab ($J_{6a,6b}$)	4,20дд, 4,28дд (12,0)	4,20дд, 4,35дд (12,0)	4,06д, 4,21дд (12,0)	4,21м	4,05дд, 4,22дд (12)	4,11дд, 4,22дд (12)	4,09дд, 4,22дд (12)	4,03дд, 4,20дд (12)	4,09дд, 4,27дд (12)
NAc, OAc	1,98с, 2,05с, 2,06с, 2,09с	1,97с, 2,08с, 2,10с (6Н)	1,94с, 1,99с, 2,00с (6Н)	1,95с, 2,05с, 2,06с, 2,08с	1,79с, 1,96с, 2,00с, 2,02с	1,78с, 1,97с, 2,00с, 2,03с	1,77с, 1,96с, 2,00с, 2,01с	1,79с, 1,98с, 2,01с, 2,03с	1,96с, 2,06с, 2,08с (6Н)
NH ($J_{2,NH}$)	5,75д (8,8)	5,92д (8,0)	8,02м	5,87д (8,4)	8,06д (9,2)	8,13д (8,8)	8,11д (9,3)	7,97д (9,2)	5,88д (8,8)
CНаром.	7,16м, 7,36с	6,93т, 6,97д, 8,29с	6,93д, 7,48д	7,32дд, 7,45т, 7,87т, 7,92д	6,89с, 7,03с, 7,05д	7,19т, 7,32д, 7,51т, 7,97м, 8,02д, 8,44т, 8,82д, 9,28с	7,18т, 7,22д, 7,49д, 7,61дд, 8,01т, 8,02д, 8,44т, 8,82д, 9,28с	7,08д, 7,81д, 7,93д, 8,78д	7,07д, 7,42м, 7,65м, 7,99д
R	-	2,27с, 8,45д	1,78с, 9,80ус	-	1,83д, 3,76с, 6,22дд, 6,36дд	7,81д, 7,98д	7,84д, 7,95д	7,70д, 7,76д	7,51д, 7,81д

Для соединений **7, 10, 17, 25–28** – растворитель DMCO-d_6 ; для остальных соединений – CDCl_3 ; **7, 8, 11, 13, 14, 16–19, 24, 26, 28, 29** – рабочая частота прибора 400 МГц, для остальных арилгликозидов – 300 МГц

Выходы и физико-химические характеристики приведены в табл. 3. Полнота удаления защитных групп и чистота полученных веществ контролировалась ^1H ЯМР спектроскопией (табл. 4) и ТХ.

Биологическую активность синтезированных веществ **32–61** определяли путем изучения их способности ингибировать биолюминесценцию свящущихся бактерий в 18-часовом teste (хроническое действие, рис. 2–4).

По влиянию на биолюминесценцию изученные соединения можно разделить на три семейства.

Первое составили глюкозаминиды, подавлявшие люминесценцию хотя бы в одной из исследованных доз, не менее чем на 50%. К этой группе относятся арилгликозиды **40, 44, 45, 48–50, 52, 54, 55, 58–60** (рис. 2).

Второе семейство представлено производными **35, 38, 43, 46, 61**, не оказывающими существенного влияния на бактериальную люминесценцию (рис. 3).

Третье семейство составили гликозиды, преимущественно активирующие люминесценцию – **32–34, 36, 37, 39, 41, 42, 47, 51, 53, 56, 57** (рис. 4).

По-видимому, причины ингибирования, активации или отсутствие влияния на бактериальную

люминесценцию исследованных соединений достаточно многообразны, однако на основе анализа структурных особенностей исследованных гликозидов можно сделать некоторые выводы.

Фактор липофильности (ClogP, табл. 5). Для галогензамещенных арилгликозидов **41–45** действие на светящиеся бактерии являлось функцией липофильности. Менее липофильные монохлорпроизводные **41, 42** (ClogP 1,07) активировали биолюминесценцию, *n*-бромпроизводное **43** (ClogP 1,46) практически не влияло на бактериальный рост и биолюминесценцию, а более липофильные производные *n*-иодфенилгликозид **44** (ClogP 1,72) и 2,4-дихлорфенилгликозид **45** (ClogP 1,84) оказывали ингибирующее действие.

В группе формилфенилгликозидов **49–51** рост и люминесценцию также ингибируют производные с большей липофильностью (**49, 50**, ClogP 0,17), тогда как положение формильной группы в ароматическом ядре не влияет на бактерицидную активность.

Бактерицидная активность является функцией липофильности и для двух структурно близких глюкозаминидов **37** (ClogP 0,29) и **55** (ClogP 1,44).

Таблиця 3

Физико-химические константы гликозидов 32-61

Соединение	Выход, %	$[\alpha]_{546}$	T.пл., °C	Литературные данные			
				Выход, %	$[\alpha]_{546}$	T.пл., °C	лит. источник
32	87	-100° (с 1,0; ДМСО)	234-235	-	-	244-246	[165]
33	91	+19° (с 1,0; ДМСО)	236-237	89	+19° (с 1,0; CH ₃ OH)	236-237	[2]
34	82	-13° (с 1,0; ДМСО)	223-225				
35	86	-15° (с 1,0; ДМСО)	214-216				
36	94	-8° (с 1,0; ДМСО)	249				
37	86	-6° (с 1,0; ДМСО)	220-221				
38	88	-4° (с 1,0; ДМСО)	205-208				
39	91	-2° (с 1,0; ДМСО)	215-218				
40	90	-6° (с 1,0; ДМСО)	218-220				
41	93	-44° (с 1,0; ДМСО)	221-223				
42	92	-4° (с 1,0; ДМСО)	206-208				
43	84	-4° (с 1,0; ДМСО)	246-248				
44	88	-6° (с 1,0; ДМСО)	216-218				
45	87	-35° (с 1,0; ДМСО)	222-224				
46	92	-75° (с 1,0; ДМСО)	207-209				
47	90	+2° (с 1,0; ДМСО)	236-237	237-238	-	[166]	
48	97	-29° (с 1,0; ДМСО)	193-196				
49	94	-29° (с 1,0; ДМСО)	174-177				
50	85	-4° (с 1,0; ДМСО)	187-189				
51	89	-23° (с 1,0; ДМСО)	190-191				
52	93	-46° (с 1,0; ДМСО)	201-204	205-207		[166]	
53	87	-2° (с 1,0; ДМСО)	224-225	224-225		[165]	
54	91	-27° (с 1,0; ДМСО)	141-143				
55	81	-15° (с 1,0; ДМСО)	232-234				
56	90	-138° (с 1,0; ДМСО)	226-227				
57	93	-123° (с 1,0; ДМСО)	216-218				
58	94	+27° (с 1,0; ДМСО)	208-210				
59	92	+13° (с 1,0; ДМСО)	175-178				
60	94	-13° (с 1,0; ДМСО)	191-193				
61	91	-38° (с 1,0; ДМСО)	125-127				

Таблиця 4

¹H ЯМР спектры арилгликозидов 32-61

Соединение	Протоны, ХС (м.д.), мультиплетность и КССВ (J _{HH} , Гц)					
	H1 (J _{1,2})	OH	NAc	NH (J _{NH,2})	CH _{аром}	R
1	2	3	4	5	6	7
32	4,98 _d (8,4)	4,70 _{yc} , 5,17 _{yc}	1,79 _c	8,10 _d (8,1)	7,17 _d , 7,49 _m , 7,85 _d	-
33	5,14 _d (9,3)	4,63 _t , 5,08 _d , 5,12 _d	1,82 _c	7,80 _d (8,4)	7,17 _d , 7,37 _t , 7,41 _{yc} , 7,47 _t , 7,84 _d	-
34	4,94 _d (8,0)	4,49 _t , 4,94 _d , 4,99 _d	1,82 _c	7,73 _d (8,8)	6,79 _m , 7,16 _t	2,29 _c
35	4,95 _d (8,4)	4,67 _t , 5,09 _d , 5,13 _d	1,82 _c	7,82 _d (8,8)	6,54 _c , 6,55 _d , 6,59 _d , 7,19 _t	3,73 _c
36	4,81 _d (8,4)	4,60 _t , 5,03 _d , 5,07 _d	1,81 _c	7,79 _d (9,0)	6,83 _d , 6,91 _d	3,69 _c
37	5,06 _d (8,8)	4,63 _t , 5,08 _d , 5,11 _d	1,81 _c	7,82 _d (8,8)	7,13 _d , 7,25 _d , 7,39 _c	3,73 _c (OMe), 3,79 _c (OMe), 6,60 _d (-CH=), 7,62 _d (=CH-COOMe)
38	4,91 _d (8,8)	4,51 _t , 4,89 _d , 4,96 _d	1,81 _c	7,73 _d (8,8)	6,88 _d , 7,09 _d	0,76 _t , 1,17 _d , 1,56 _k , 2,56 _m
39	4,92 _d (8,4)	4,63 _t , 5,08 _d , 5,12 _d	1,82 _c	7,81 _d (8,8)	6,89 _d , 7,30 _d	3,36 _c (9H)

Продолжение табл. 4

1	2	3	4	5	6	7
40	4,83д (8,4)	4,69yc, 5,27yc	1,80с	7,86д (9,0)	6,93т, 7,13м	3,25м (CH ₂ -CH=), 4,97дд (CH ₂ =), 5,86м (-CH=)
41	4,95д (8,7)	4,65т, 5,07д, 5,12д	1,80с	7,78д (8,4)	7,03м, 7,27с, 7,28д, 7,40д	-
42	4,96д (8,8)	4,64т, 5,12д, 5,15д	1,82с	7,83д (8,8)	7,00д, 7,35д	-
43	4,96д (8,0)	4,65т, 5,11д, 5,14д	1,82с	7,82д (9,2)	6,94д, 7,47д	-
44	4,95д (8,8)	4,68yc, 5,26yc	1,81с	7,85д (8,8)	6,81д, 7,61д	-
45	4,96д (8,8)	4,69т, 5,14д, 5,18д	1,82с	7,70д (9,2)	7,31д, 7,38д, 7,59с	-
46	4,75д (8,7)	4,67т, 5,15д, 5,21д	1,88с	8,07д (8,4)	6,97м, 7,09д, 8,24д	2,17с, 8,52с
47	4,88д (8,4)	4,61т, 5,04д, 5,08д	1,81с	7,80д (9,0)	6,90д, 7,46д	2,00с, 9,82с
48	5,11д (8,8)	4,52т, 5,04д, 5,07д	1,84с	7,79д (8,8)	7,43д, 7,58т, 7,74т, 7,87д	-
49	5,01д (8,8)	4,71т, 5,18д, 5,23д	1,81с	7,90д (8,8)	7,17т, 7,32д, 7,68м	10,27с
50	5,16д (8,0)	4,68yc, 5,23yc	1,82с	7,86д (8,0)	7,15д, 7,88д	9,90с
51	5,18д (8,0)	4,44т, 4,95д, 4,98д	1,80с	7,76д (8,0)	7,25д, 7,38с, 7,47д	3,84с
52	4,95д (8,4)	4,66т, 5,08д, 5,15д	1,81с	7,70д (9,2)	7,09т, 7,22д, 7,50т, 7,53д	3,77с
53	5,12д (8,8)	4,66т, 5,14д, 5,17д	1,82с	7,85д (9,2)	7,07д, 7,93д	2,54с
54	5,89д (8,0)	4,65yc, 5,03yc, 5,16yc	1,90с	7,90д (8,4)	7,40д, 7,60м, 7,69т, 7,75д, 8,30д	3,95с
55	4,94д (8,4)	4,63т, 5,07д, 5,11д	1,81с	7,81д (8,8)	6,34д, 6,86д, 7,01с	1,83д (Me), 3,75с (OMe), 6,20дд (=CH-Me), 7,05д (-CH=)
56	5,03д (8,4)	4,66т, 5,11д, 5,16д	1,79с	7,83д (8,7)	7,12т, 7,46т, 7,97м, 8,84д	7,80д, 7,96д (CH=CH)
57	5,02д (8,7)	4,65т, 5,09д, 5,15д	1,79с	7,83д (9,0)	7,12т, 7,27д, 7,47т, 7,61м, 8,45д, 8,83yc, 9,29yc	7,86д, 7,97д (CH=CH)
58	5,10д (8,4)	4,68т, 5,18yc, 5,20yc	1,83с	7,85д (9,2)	7,06д, 7,90д, 8,00д, 8,85д	7,80с (2H, CH=CH)
59	5,16д (8,4)	4,64т, 5,09д, 5,14д	1,82с	7,87м	7,11д, 7,45м, 7,87м, 8,16м	7,72д, 7,95д (CH=CH)
60	5,07д (8,4)	4,68yc, 5,24yc	1,83с	7,86д (8,8)	7,01м, 7,10т, 7,18с, 7,35д, 7,59д, 7,81д	2,94м, 3,54м (4H, -CH ₂ -CH ₂), 8,53т (1H, -CONH-), 10,83yc (1H, NH _{индол})
61	5,13д (8,4)	4,54yc, 5,24yc	1,90с	8,03д (8,1)	6,95т, 7,03т, 7,13с, 7,16д, 7,30д, 7,43т, 7,73д, 8,02д	2,96м, 3,52м (4H, -CH ₂ -CH ₂ -), 8,20т (1H, -CONH-), 10,66yc (1H, NH _{индол})

Растворитель - ДМСО-d₆. Для соединений **32, 33, 36, 40, 41, 46, 47, 56, 57** рабочая частота прибора - 300 МГц.

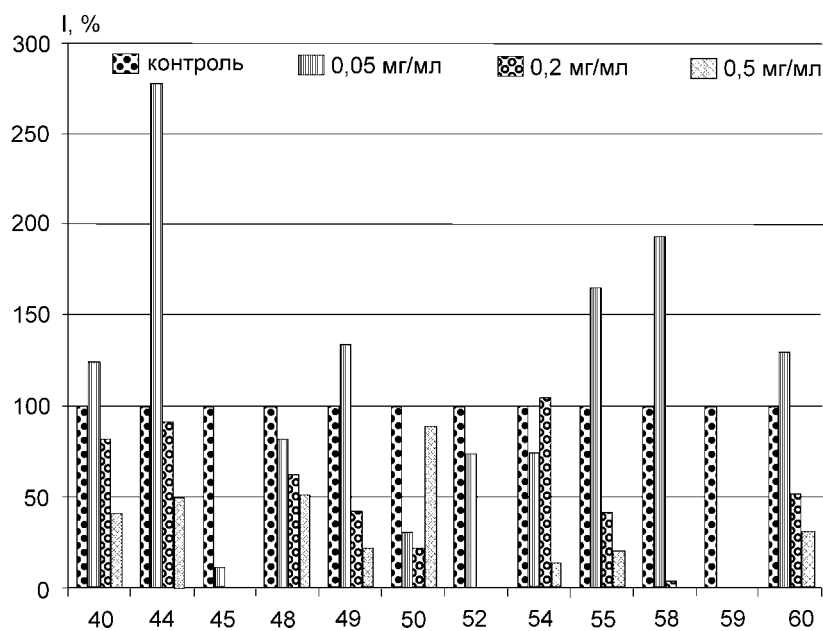


Рис. 2. Влияние гликозидов **40, 44, 45, 48-50, 52, 54, 55, 58-60** на интенсивность бактериальной люминесценции в тесте хронической токсичности в различных концентрациях.

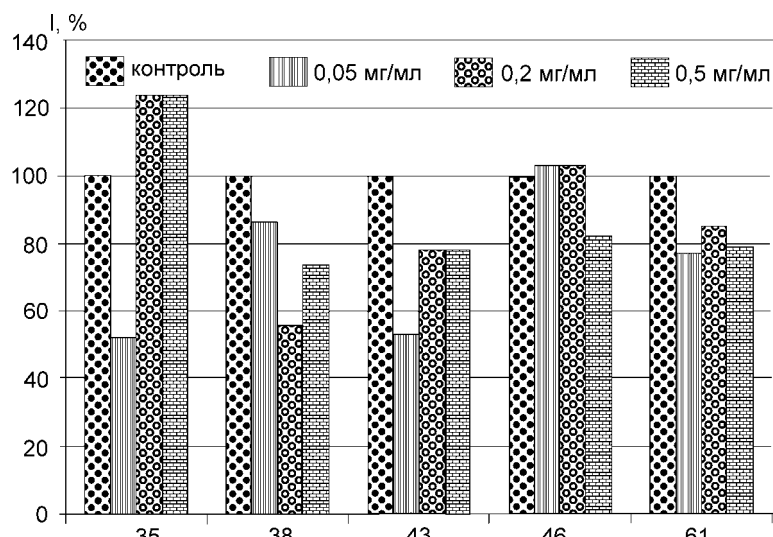


Рис. 3. Влияние производных 35, 38, 43, 46, 61 на бактериальную люминесценцию в teste хронической токсичности в различных концентрациях.

Ингибитором биолюминесценции является более липофильное производное **55**.

Для гликозидов халконов **56-59** наблюдается зависимость бактерицидной активности от взаимного расположения моносахаридного остатка и агликонной части молекулы. *o*-Замещенные производные **56, 57** являются активаторами люминесценции, а *n*-замещенные **58, 59** — сильными ингибиторами. При этом липофильность соединений не влияет на их активность.

Аналогичная зависимость отмечена и для изомерной пары **60** и **61**. При одинаковой липофильности (ClogP 1,47), триол **61** ингибирировал биолюминесценцию незначительно, тогда как для *n*-производного **60** обнаружена заметная ингибирующая активность.

В ряду нафтилгликозидов **32, 33, 54** при одинаковой липофильности, ингибирующей активностью обладал только гликозид **54**, что, по-видимому, связано с наличием 2-метоксикарбонильной группы, поскольку его структурный аналог **33** является активатором роста бактерий. Отметим, что соединение **52**, так же несущее метоксикарбонильную группу, ингибирирует рост бактерий.

Таким образом, налицо многофакторность влияния структуры глюкозаминидов на рост и биолюминесценцию *Photobacterium leiognathi*. Полученные экспериментальные данные позволяют обоснованно утверждать, что направленность влияния — ингибирование, активация или отсутствие воздействия на бактериальные клетки исследованных соединений, связана с липофильностью,

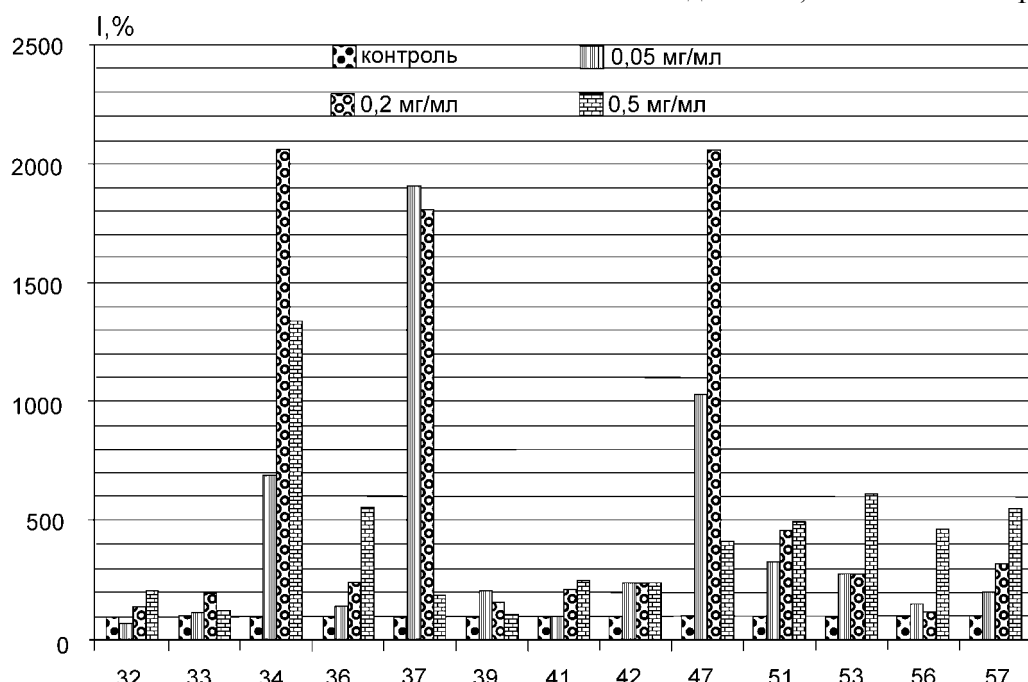


Рис. 4. Активация люминесценции арилглюкозаминидами 32-34, 36, 37, 39, 41, 42, 47, 51, 53, 56, 57 в teste хронической токсичности в различных концентрациях.

Таблиця 5

Сравнение липофильности (*ClogP*) и влияния на биолюминесценцию глюказаминидов 32-61

Номер соединения	<i>ClogP</i> *	Влияние на биолюминесценцию**
32	1,62	А
33	1,62	А
54	1,61	СИ
34	0,95	А
35	0,54	НВ
36	0,54	А
37	0,29	А
38	2,41	НВ
39	2,28	А
40	1,53	И
41	1,07	А
42	1,07	А
43	1,46	НВ
44	1,72	И
45	1,84	СИ
46	-0,96	НВ
47	-0,96	А
48	0,50	И
49	0,17	И
50	0,17	И
51	-0,16	А
52	0,44	И
53	0,19	А
54		СИ
55	1,44	И
56	0,83	А
57	0,83	А
58	0,83	СИ
59	2,24	СИ
60	1,47	И
61	1,47	НВ

* - рассчитан с помощью программы ChemDraw Ultra;
 ** А - активирование роста бактерий и биолюминесценции;
 И - ингибирование роста бактерий и биолюминесценции ($I = 11\text{--}50\%$); СИ - сильное ингибирование роста бактерий и биолюминесценции ($I < 11\%$); НВ - отсутствие влияния на рост бактерий и биолюминесценцию.

пространственными и электронными особенностями строения гликозидов, в первую очередь, агликонной части молекулы.

Экспериментальная часть

Температуры плавления определяли на приборе ПТП-1, величину угла оптического вращения на поляриметре Polamat-A (длина волны $\lambda = 546 \text{ нм}$, $20\text{--}22^\circ\text{C}$). Спектры ЯМР ^1H записаны на приборе Varian Mercury-400 (400 МГц) и Varian VXR-300

(300 МГц), для растворов в DMSO-*d*₆, внутренний стандарт Me₄Si.

ТСХ проводили на пластинках Sorbfil-АФВ-УФ (“Сорбполимер”, Россия), элюент: бензол — этанол, 10:1, бутанол — уксусная кислота — вода, 3:1:1. Зоны веществ обнаруживали обработкой пластинок 2-5% раствором серной кислоты в пропаноле-2, с последующим нагреванием при 250–300°C. Данные элементного анализа синтезированных соединений соответствуют расчетным значениям.

Ацетонитрил кипятили над оксидом фосфора (V), фракционировали, кипятили над свежепрекаленным карбонатом калия, перегоняли, дистиллят фракционировали с колонкой Вигре. Сухой K₂CO₃ получали прокаливанием (5 ч) при 340–360°C, тщательно измельчали и фракционировали, используя сита с размером пор 140 мкм.

Использовали *m*-крезол, 4-метоксиленол, 2-гидроксибензальдегид, 4-гидроксибензальдегид, *трет*-бутилфенол, *n*-хлорфенол, *o*-хлорфенол, 2,4-дихлорфенол, *n*-ацетамилофенол, ванилин, 4-гидроксизацетофенон, *o*-аллилфенол, 2-метокси-4-(пропен-1-ил)фенол, метанол, 1-гидрокси-2-нафтойную кислоту, салициловую кислоту, *o*-аминофенол, 15-краун-5 (Merck); α -нафтол, β -нафтол, феруловую кислоту (Реахим), *m*-нитроанилин (Lancaster), *N*-ацетилглюказамин, 3-ацетилпиридин, 4-ацетилпиридин, *n*-бромфенол, *n*-йодфенол (Acros), *втор*-бутилфенол, *m*-метоксиленол (Aldrich).

По литературным методикам получены 2-ацетамилофенол [50], *m*-нитрофенол, метил 4-гидрокси-3-метоксициннамат [51]. (*E*)-3-(2-гидроксифенил)-1-(пиридин-3-ил)пропен-2-он-1, (*E*)-3-(2-гидроксифенил)-3-(пиридин-4-ил)пропен-2-он-1, (*E*)-3-(4-гидроксифенил)-1-(пиридин-4-ил)пропен-2-он-1, (*E*)-1-(4-гидроксифенил)-3-фенилпропен-2-он-1 синтезированы, как описано в [52].

Общая методика гликозилирования. Смесь 0,500 г (1,370 ммоль) α -D-глюкопиранозилхлорида **1** [53], 0,189 г (1,370 ммоль) безводного K₂CO₃, 1,370 ммоль соответствующего фенола и 0,060 г (0,274 ммоль) 15K5 в 15 мл сухого CH₃CN перемешивали при 25°C до полной конверсии субстрата (ТСХ, сравнение с соединениями-свидетелями). По окончании процесса твердую фазу отделяли фильтрованием, осадок промывали на фильтре ацетонитрилом (3x5 мл), который далее удаляли при пониженном давлении на роторном испарителе при температуре бани не выше 40°C. Гликозиды **4**, **5**, **7**–**11**, **13**–**18**, **25**–**29** выделяли кристаллизацией из пропанола-2 или этанола. По этой методике получены:

- (нафтил-1)-2-ацетамидо-3,4,6-три-*O*-ацетил-2-дезокси- β -D-глюкопиранозид **2**;
- (*m*-толил)-2-ацетамидо-3,4,6-три-*O*-ацетил-2-дезокси- β -D-глюкопиранозид **4**;
- (3-метоксифенил)-2-ацетамидо-3,4,6-три-*O*-ацетил-2-дезокси- β -D-глюкопиранозид **5**;
- метил-[4-(2-ацетамидо-3,4,6-три-*O*-ацетил-2-дезокси- β -D-глюкопиранозилокси)-3-метокси]циннамат **7**;

- 4-*втор*-бутилфенил-2-ацетамидо-3,4,6-три-*O*-ацетил-2-дезокси-β-D-глюкопиранозид **8**;
- 4-*трет*-бутилфенил-2-ацетамидо-3,4,6-три-*O*-ацетил-2-дезокси-β-D-глюкопиранозид **9**;
- *o*-алілфенил-2-ацетамидо-3,4,6-три-*O*-ацетил-2-дезокси-β-D-глюкопиранозид **10**;
- (2-хлорфенил)-2-ацетамидо-3,4,6-три-*O*-ацетил-2-дезокси-β-D-глюкопиранозид **11**;
- (4-бромфенил)-2-ацетамидо-3,4,6-три-*O*-ацетил-2-дезокси-β-D-глюкопиранозид **13**;
- (4-йодфенил)-2-ацетамидо-3,4,6-три-*O*-ацетил-2-дезокси-β-D-глюкопиранозид **14**;
- (2,4-дихлорфенил)-2-ацетамидо-3,4,6-три-*O*-ацетил-2-дезокси-β-D-глюкопиранозид **15**;
- (2-ацетамидофенил)-2-ацетамидо-3,4,6-три-*O*-ацетил-2-дезокси-β-D-глюкопиранозид **16**;
- (4-ацетамидофенил)-2-ацетамидо-3,4,6-три-*O*-ацетил-2-дезокси-β-D-глюкопиранозид **17**;
- (3-нитрофенил)-2-ацетамидо-3,4,6-три-*O*-ацетил-2-дезокси-β-D-глюкопиранозид **18**;
- (2-метокси-4-пропен-1-ил)фенил-2-ацетамидо-3,4,6-три-*O*-ацетил-2-дезокси-β-D-глюкопиранозид **25**;
- 3-[2-(2-ацетамидо-3,4,6-три-*O*-ацетил-2-дезокси-β-D-глюкопиранозилокси)фенил]-1-(піридин-3-ил)пропен-2-он-1 **26**;
- 3-[2-(2-ацетамидо-3,4,6-три-*O*-ацетил-2-дезокси-β-D-глюкопиранозилокси)фенил]-1-(піридин-4-ил)пропен-2-он-1 **27**;
- 3-[4-(2-ацетамидо-3,4,6-три-*O*-ацетил-2-дезокси-β-D-глюкопиранозилокси)фенил]-1-(піридин-4-ил)пропен-2-он-1 **28**;
- 3-[4-(2-ацетамидо-3,4,6-три-*O*-ацетил-2-дезокси-β-D-глюкопиранозилокси)фенил]-1-фенилпропен-2-он-1 **29**.

Общая методика дезацетилирования. К раствору или суспензии ацетатов **2-31** в сухом метаноле (10 мл на 1 ммоль исходного гликозида) добавили 0,5 мл 0,1 н. раствора метилата натрия в метаноле. Через 12 ч (ТСХ) выпавший осадок отфильтровали, промыли холодным метанолом. Маточный раствор нейтрализовали катионитом КУ-2 (H^+), смолу отфильтровали, фильтрат упарили и добавлением эфира получили дополнительную порцию кристаллов. Выходы и физико-химические характеристики триолов **32-61** приведены в табл. 3. Получены:

- (нафтіл-1)-2-ацетамидо-2-дезокси-β-D-глюкопиранозид **32**;
- (нафтіл-2)-2-ацетамидо-2-дезокси-β-D-глюкопиранозид **33**;
- (*m*-толіл)-2-ацетамидо-2-дезокси-β-D-глюкопиранозид **34**;
- (3-метоксифенил)-2-ацетамидо-2-дезокси-β-D-глюкопиранозид **35**;
- (4-метоксифенил)-2-ацетамидо-2-дезокси-β-D-глюкопиранозид **36**;
- метил-[4-(2-ацетамидо-2-дезокси-β-D-глюкопиранозилокси)-3-метокси]-циннамат **37**;

- 4-*втор*-бутилфенил-2-ацетамидо-2-дезокси-β-D-глюкопиранозид **38**;
- 4-*трет*-бутилфенил-2-ацетамидо-2-дезокси-β-D-глюкопиранозид **39**;
- *o*-алілфенил-2-ацетамидо-2-дезокси-β-D-глюкопиранозид **40**;
- (2-хлорфенил)-2-ацетамидо-2-дезокси-β-D-глюкопиранозид **41**;
- (4-хлорфенил)-2-ацетамидо-2-дезокси-β-D-глюкопиранозид **42**;
- (4-бромфенил)-2-ацетамидо-2-дезокси-β-D-глюкопиранозид **43**;
- (4-йодфенил)-2-ацетамидо-2-дезокси-β-D-глюкопиранозид **44**;
- (2,4-дихлорфенил)-2-ацетамидо-2-дезокси-β-D-глюкопиранозид **45**;
- (2-ацетамидофенил)-2-ацетамидо-2-дезокси-β-D-глюкопиранозид **46**;
- (4-ацетамидофенил)-2-ацетамидо-2-дезокси-β-D-глюкопиранозид **47**;
- (3-нитрофенил)-2-ацетамидо-2-дезокси-β-D-глюкопиранозид **48**;
- (2-формилфенил)-2-ацетамидо-2-дезокси-β-D-глюкопиранозид **49**;
- (4-формилфенил)-2-ацетамидо-2-дезокси-β-D-глюкопиранозид **50**;
- (2-метокси-4-формилфенил)-2-ацетамидо-2-дезокси-β-D-глюкопиранозид **51**;
- (2-метоксикарбонилфенил)-2-ацетамидо-2-дезокси-β-D-глюкопиранозид **52**;
- (4-ацетилфенил)-2-ацетамидо-2-дезокси-β-D-глюкопиранозид **53**;
- (2-метоксикарбонилнафтил-1)-2-ацетамидо-2-дезокси-β-D-глюкопиранозид **54**;
- (2-метокси-4-пропен-1-ил)фенил-2-ацетамидо-2-дезокси-β-D-глюкопиранозид **55**;
- 3-[2-(2-ацетамидо-2-дезокси-β-D-глюкопиранозилокси)фенил]-1-(піридин-3-ил)пропен-2-он-1 **56**;
- 3-[2-(2-ацетамидо-2-дезокси-β-D-глюкопиранозилокси)фенил]-1-(піридин-4-ил)пропен-2-он-1 **57**;
- 3-[4-(2-ацетамидо-2-дезокси-β-D-глюкопиранозилокси)фенил]-1-(піридин-4-ил)пропен-2-он-1 **58**;
- 3-[4-(2-ацетамидо-2-дезокси-β-D-глюкопиранозилокси)фенил]-1-фенилпропен-2-он-1 **59**;
- *N*-[2-(1Н-індол-3-ил)етил]-4-(2-ацетамидо-2-дезокси-β-D-глюкопиранозилокси)]-бензамид **60**;
- *N*-[2-(1Н-Індол-3-ил)етил]-2-(2-ацетамидо-2-дезокси-β-D-глюкопиранозилокси)]-бензамид **61**.

Методика исследования влияния гликозидов на бактериальную люминесценцию

В работе были использованы морские светящиеся бактерии *Photobacterium leiognathi* Sh1. (выделенные из Азовского моря) из коллекции Крымского медицинского университета им. С.И.Геор-

гіевского. Інтенсивність біолюмінесценції измеряли з помічю люмінометра БЛМ 8801 (СКТБ Наука, Красноярск). При изучении острого действия пробы содержали 0,9 мл 3% NaCl, 5-100 мкл раствора вещества (исходная концентрация — 5 мг/мл) и 50-100 мкл разведенной бактериальной суспензии. Конечная концентрация бактерий в пробе составляла $5 \cdot 10^5$ кл/мл. При изучении хронического действия в пробы дополнительно вводили ростовую среду (конечное разведение 1:10) и проводили инкубацию 16-18 ч при 30°C. Действие веществ оценивали в % как $I = I_1/I_0 * 100$, где I_1 — интенсивность біолюмінесценції после воздействия, а I_0 — интенсивность бактериальной біолюмінесценції до воздействия исследуемого вещества. Ингибиторами считали вещества, снижающие біолюмінесценцію (на 50% и более), активаторами — вещества, повышающие біолюмінесценцію, индифферентными — вещества, не влияющие на бактериальную біолюмінесценцію, или действие которых неоднозначно.

Выводы

1. Приведенные примеры наглядно продемонстрировали преимущества предложенного нами способа построения арил-*O*- β -гликозидной связи по-сравнению с подходами, описанными в литературе. Катализируемый КЭ процесс не предполагает использования избытка реагента, использу-

ованное основание — безводный K₂CO₃ обеспечивает возможность глюкозаминилирования фенолов, содержащих как электронодонорные, так и электронакцепторные заместители, в том числе двухатомные фенолы, а также *o*- и *n*-ацетамидофенолы, которые согласно литературным данным в системе “жидкость — жидкость” не гликозилируются.

2. Ингибирование роста и біолюмінесценції морських светящихся бактерий зависит от следующих структурных особенностей исследованных соединений:

- фактор липофильности играет существенную роль в реализации бактерицидной активности только внутри групп структурно близких глюкозаминидов. Использовать исключительно значение ClogP для предсказания возможного бактерицидного действия без учета структурных особенностей агликонной части глюкозаминидов невозможно;
- для арилгликозидов, несущих объемный заместитель, связанный с ароматическим ядром (**56-61**), ингибиторами роста бактерий и біолюмінесценції являются только *пара*-изомеры;
- проявлению биоцидных свойств способствует присутствие в агликоне следующих функциональных групп: нитро, карбонильной, метокси-карбонильной, йод, дихлор, непредельного радикала.

Література

1. Jensen K.J. // *J. Chem. Soc., Perkin Trans.* — 2002. — №1. — P. 2219-2233.
2. Paul S., Jayaraman N. // *Carbohydr. Res.* — 2007. — Vol. 342, №10. — P. 1305-1314.
3. Osborn H.M.I. *Carbohydrates*. — Oxford: Academic Press, 2003. — 430 p.
4. Iversen T., Johansson R. // *Synthesis*. — 1979. — №10. — P. 823-824.
5. Huchel U., Schmidt Ch., Schmidt R.R. // *Tetrahedron Lett.* — 1995. — Vol. 36, №52. — P. 9457-9460.
6. Gervay J., Hadd M.J. // *J. Org. Chem.* — 1997. — Vol. 62. — P. 6961-6967.
7. Бочков А.Ф., Афанасьев В.А., Заиков Г.Е. *Образование и расщепление гликозидных связей*. — М.: Наука, 1978. — 180 с.
8. Пат. США 5874548. <http://patft.uspto.gov/netahtml/search-bool.html>.
9. Dess D., Kleine H., Weinberg D. et al. // *Synthesis*. — 1981. — №11. — P. 883-885.
10. Kleine H., Weinberg D., Kaufman R., Sidhu R. // *Carbohydr. Res.* — 1985. — Vol. 142, №2. — P. 333-337.
11. Павлов А.Е., Соколов В.М., Захаров В.И. // *ЖОХ*. — 2001. — Т. 71, №11. — С. 1915-1919.
12. Roy R., Tropper F. // *Synth. Commun.* — 1990. — Vol. 20, №14. — P. 2097-2102.
13. Roy R., Tropper F. // *Can. J. Chem.* — 1991. — Vol. 69, №5. — P. 817-821.
14. Kleine H., Sidhu R. // *Carbohydr. Res.* — 1988. — Vol. 182, №2. — P. 307-312.
15. Pistia-Brueggeman G., Hollingsworth R.I. // *Carbohydr. Res.* — 2003. — Vol. 338, №5. — P. 455-458.
16. Lewis P.T., Wahala K. // *Tetrahedron Lett.* — 1998. — Vol. 39. — P. 9559-9562.
17. Lewis P.T., Wahala K. // *Molecules Online*. — 1998. — №2. — P. 137-139.
18. Чупахина Т.А., Курьянов В.О. // Ученые записки Симферопольского государственного университета. — 1998. — №5 (44). — С. 192-198.
19. Курьянов В.О., Чупахина Т.А., Земляков А.Е. и др. // Биоорг. химия. — 2001. — Т. 27, №6. — С. 434-438.
20. Земляков А.Е., Курьянов В.О., Чупахина Т.А. и др. // ХПС. — 2002. — №2. — С. 125-128.
21. Чупахина Т.А., Курьянов В.О., Чирва В.Я. и др. // *Ukrainian-Polish-Moldavian Symposium on Supramolecular Chemistry*. — Kyiv, 2003. — С. 64-66.
22. Чупахина Т.А., Курьянов В.О., Чирва В.Я. и др. // Биоорг. химия. — 2004. — Т. 30, №3. — С. 334-336.
23. Земляков А.Е., Курьянов В.О., Чупахина Т.А. и др. // Научно-практический семинар “Поиск и разработка сердечно-сосудистых средств”. — Алушта, 2001. — С. 21-24.
24. Курьянов В.О., Чупахина Т.А., Земляков А.Е. и др. // ХПС. — 2001. — №1. — С. 35-38.

25. Курьянов В.О., Присокова У.С., Чупахина Т.А. и др. // Тр. III Междунар. конф. "Химия и биологическая активность азотсодержащих гетероциклов" (Черноголовка). — М.: ICSPF, 2006. — Т. I. — С. 332-336.
26. Курьянов В.О., Чупахина Т.А. // Ученые записки Таврического национального университета. — 2005. — Т. 18(58), №2. — С. 120-124.
27. Пат. 9082 України №20041210441. Опубл.: 15.09.2005. — Бюл. №9. — 3 с.
28. Курьянов В.О., Чупахина Т.А., Комляр С.А., Чирва В.Я. // ЖОФХ. — 2007. — Т. 5, вип. 4 (20). — С. 44-48.
29. Barker S.A., Plevey R.G., Simmonds R.G., Stacey M. // Tetrahedron. — 1966. — Vol. 22. — Suppl. №8. — Part 2. — P. 611-619.
30. Arita H., Sugita K., Nomura A. et al. // Carbohydr. Res. — 1978. — Vol. 62, №1. — P. 143-154.
31. Arita H., Kawanami J. // J. Biochem. — 1980. — Vol. 88, №5. — P. 1399-1406.
32. Sugita K., Arita H., Sato K., Kawanami J. // Biochim. Biophys. Acta. — 1979. — Vol. 552, №3. — P. 404-412.
33. Sugita K., Arita H., Kawanami J., Sato K. // J. Gen. Virol. — 1979. — Vol. 45, №1. — P. 249-251.
34. Arita H., Sugita K., Sato K. et al. // Chem. Pharm. Bull. — 1981. — Vol. 29, №10. — P. 2928-2933.
35. Jizomoto H., Arita H., Sugita K. et al. // J. Biochem. — 1980. — Vol. 88, №4. — P. 995-999.
36. Van Boeckel C.A.A., Delbressine L.P.C., Kaspersen F.M. // Recl. Trav. Chim. Pays-Bas. — 1985. — Vol. 104, №10. — P. 259-265.
37. Brockhausen I., Benn M., Bhat S. et al. // Glycoconjugate J. — 2006. — Vol. 23. — P. 525-541.
38. Земляков А.Е., Цикалов В.В., Курьянов В.О. и др. // Биоорг. химия. — 2001. — Т. 27, №6. — С. 390-394.
39. Okay O.S., Tolun L., Tufekci V. et al. // J. Environmental Sci. Health, Part A. — 2005. — Vol. 40, №8. — P. 1525-1541.
40. Lee H.J., Villaume J., Cullen D.C. et al. // Biosensors Bioelectronics. — 2003. — Vol. 18. — P. 571-577.
41. Shakila R.J., Jeyasekaran G., Vyla S.A.P., Saravanakumar R. // Ind. J. Microbiology. — 2004. — Vol. 44, №4. — P. 273-276.
42. Nilsson L. // Antimicrobial Agents Chemother. — 1978. — Vol. 14, №6. — P. 812-816.
43. Salisbury V., Pfoestl A., Wiesinger-Mayr H. et al. // J. Antimicrobial Chemother. — 1999. — Vol. 43. — P. 829-832.
44. Katsev A.M., Wegrzyn G., Szpilewska H. // J. Basic. Microbiol. — 2004. — Vol. 44, №3. — P. 178-184.
45. Кацев А.М. // Тр. Крым. мед. ин-та. — 2005. — Т. 141, Ч. 4. — С. 22-26.
46. Katsev A.M., Abduramanova E.R., Cherniy P.V. // Таврический мед.-биол. вестник. — 2007. — Т. 10, №3. — С. 153-157.
47. Кацев А.М., Онучина И.Г., Гордиенко А.И., Белоглазов В.А. // Укр. биохим. журн. — 2002. — Т. 74, №6. — С. 103-107.
48. Кацев А.М., Журочкин С.М., Горобец С.М. // Тр. Крым. мед. ин-та. — 2005. — Т. 141, Ч. 3. — С. 33-36.
49. Курьянов В.О., Чупахина Т.А., Земляков А.Е. и др. // Биоорг. химия. — 2006. — Т. 32, №6. — С. 615-620.
50. Методы получения химических реактивов и препаратов: В 26 т. / ИРЕА. — М., 1974. — Т. 26. — С. 42-45.
51. Вейганд-Хильгетаг. Методы эксперимента в органической химии / Пер. с нем. — М.: Химия, 1968. — С. 320.
52. Domi'nguez J.N., Charris J.E., Lobo G. et al. // Eur. J. Med. Chem. — 2001. — Vol. 36. — P. 555-560.
53. Horton D., Wolfson M.L. // J. Org. Chem. — 1962. — Vol. 27, №5. — P. 1794-1800.

Надійшла до редакції 12.05.2008 р.